

Краткие сообщения

05;07

Визуализация неоднородностей пластического течения полями декорреляции и скорости мерцаний видеоспеклов

© С.Н. Поляков, С.А. Бикбаев, Л.Б. Зуев

Институт физики прочности и материаловедения СО РАН,
634021 Томск, Россия
e-mail: levzuev@mail.tomsknet.ru

(Поступило в Редакцию 18 февраля 2004 г.)

Представлены алгоритмы реализуемых *in situ* методов визуализации зон локализации пластической деформации, экспериментальные зависимости визуализирующих сигналов и параметров, обратных качеству измерений, от визуализируемой деформации, а также примеры типичного результата визуализации пластического течения в случае распространением полос Чернова—Людерса.

Исследования неоднородности и локализации пластического течения, предпринятые в последние годы [1], были выполнены главным образом с использованием методики двухэкспозиционной спекл-фотографии, которая не позволяет анализировать ход процесса в реальном времени. Общий интерес к проблеме неоднородности пластического течения привел к разработке многочисленных методик электронной спекл-интерферометрии, исключаяющей фотографический процесс (см., например, [2,3]). Однако все эти методики характеризуются высоким уровнем шума в выходных данных и при анализе пластического течения ограничены узким диапазоном приростов деформации. Названные недостатки, очевидно, непреодолимы, поскольку порождены декорреляцией спеклов, вызванной неразделимой комбинацией смещения точек поверхности (информативная часть сигнала) и изменения ее рельефа, неизбежного при пластической деформации (помехи).

Поиск альтернативных путей отображения картин неоднородной деформации привел к двум вариантам непосредственного использования эффекта декорреляции для наблюдения зон локализации деформации. Первый подход был реализован нами в работах [4–6], где неоднородное по образцу распределение деформации визуализировалось полем выборочного коэффициента взаимной декорреляции D видеосигнала S , вычисляемого *in situ* в пределах $(m \times n)$ -пиксельных окрестностей отображаемых точек спекл-видеоизображений деформируемой поверхности и определяемого как

$$D_{ijk}^{(m \times n, p)} = 1 - \left| \left\langle (S_{ijk} - \langle S_{ijk} \rangle) / \sigma S_{ijk} \right. \right. \\ \left. \left. \times (S_{ij(k-p)} - \langle S_{ij(k-p)} \rangle) / \sigma S_{ij(k-p)} \right\rangle \right|. \quad (1)$$

Здесь i, j — координаты в пиксельном представлении; k — номер видеокadra; $p \geq 1$ — межкадровый сдвиг (число кадров между сравниваемыми спекл-изображениями); σS_{ijk} — среднеквадратичное отклоне-

ние видеосигнала в пределах $(m \times n)$ -пиксельной окрестности отображаемых точек. Алгоритм (1) обеспечил визуализацию полос Чернова—Людерса (рис. 1) и восстановление положения их фронтов с погрешностью не хуже $1.5\text{--}2 \mu\text{s}$ при межкадровом приросте общей деформации растяжения $\Delta \epsilon \geq 3 \cdot 10^{-5}$ и применении линейного регрессионного сглаживания координат фронтов. Однако область применения метода также оказалась ограниченной нелинейностью зависимости D от лежащих в плоскости наблюдения компонент деформации ϵ_{xx} и ϵ_{yy} и ее насыщением при $\epsilon \geq 0.00075$ (рис. 2, кривая 2).

Указанные недостатки непосредственного использования явления декорреляции спеклов для визуализации пластического течения удалось преодолеть при усовершенствовании процедуры счета числа мерцаний спеклов M , описанной в [7]. В этом случае пластическое течение успешно визуализировалось *in situ* полем скорости мерцаний спеклов, определяемой усреднением по ансамблю статистически независимых одновременных измерений в $(m \times n)$ -пиксельной окрестности отображаемой точки

$$\dot{M}_{ij(k-p/2)}^{(m \times n, p)} = -\frac{1}{p} \overline{M}_{ij(k-p)}^{(m \times n)} + \frac{1}{p^2} \int_{k-p}^k dq \cdot \overline{M}_{ijq}^{(m \times n)}. \quad (2)$$

При этом само мерцание в процессе каждого независимого измерения определяется как акт межкадрового (в интервале $[k-1, k]$) перехода видеосигнала S_{ijk} через соответствующий счетный порог $(1 + \beta) \cdot \bar{S}_{ijk}^{(m' \times n')}$, заданный некоторым относительным уровнем β видеосигнала S_{ijk} , усредненного по $(m' \times n')$ -пиксельной окрестности отображаемой точки. При этом при переходах S_{ijk} через счетные β -пороги (как снизу вверх, так и сверху вниз) вычисляются текущие значения числа мерцаний по правилу $M_{ijk}(\beta) = M_{ij(k-1)}(\beta) + 1$, а окрестность выбирается, исходя из требования ее статистической представительности для определения средне-

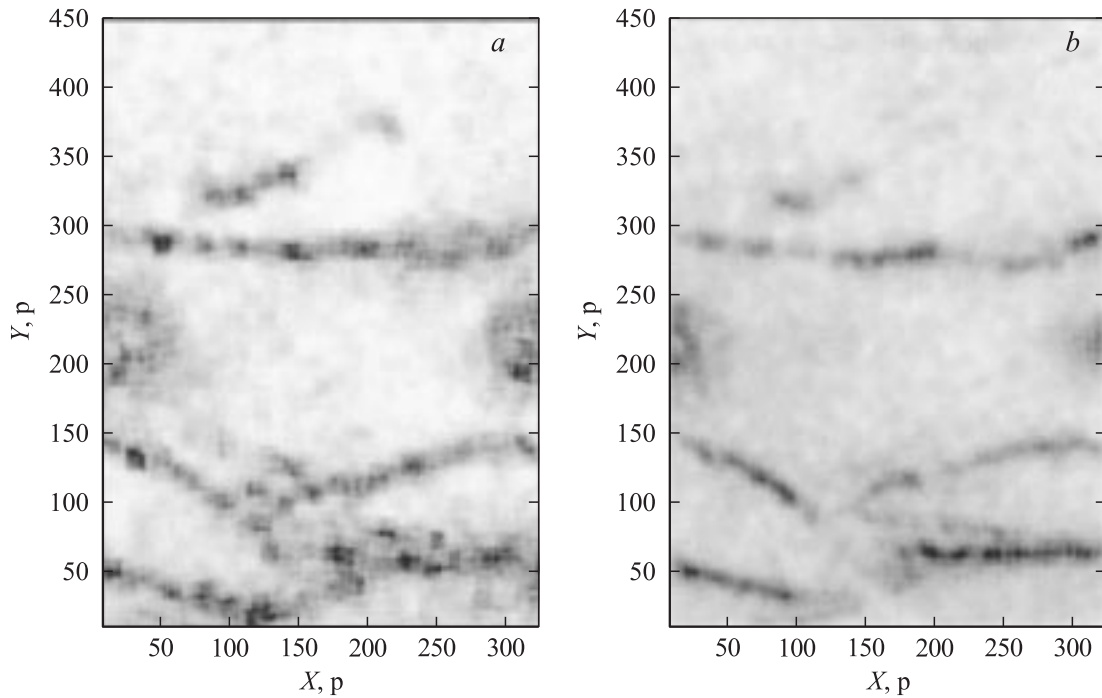


Рис. 1. Визуализация пластического течения при одноосном растяжении плоского образца малоуглеродистой стали с симметричными поперечными надрезами, выполненная с пространственно ограниченным (по окрестности $11 \times 11p$, $1p = 8 \mu\text{m}$) усреднением: *a* — методом вычислительной декорреляции; *b* — полем скорости мерцания видеоспеклов (11 статистически независимых одновременных измерений, параметр регрессионного сглаживания $p = 5$). В обоих случаях фронты полос Людерса и другие области локализованной деформации отображаются потемнениями полутоновых картин.

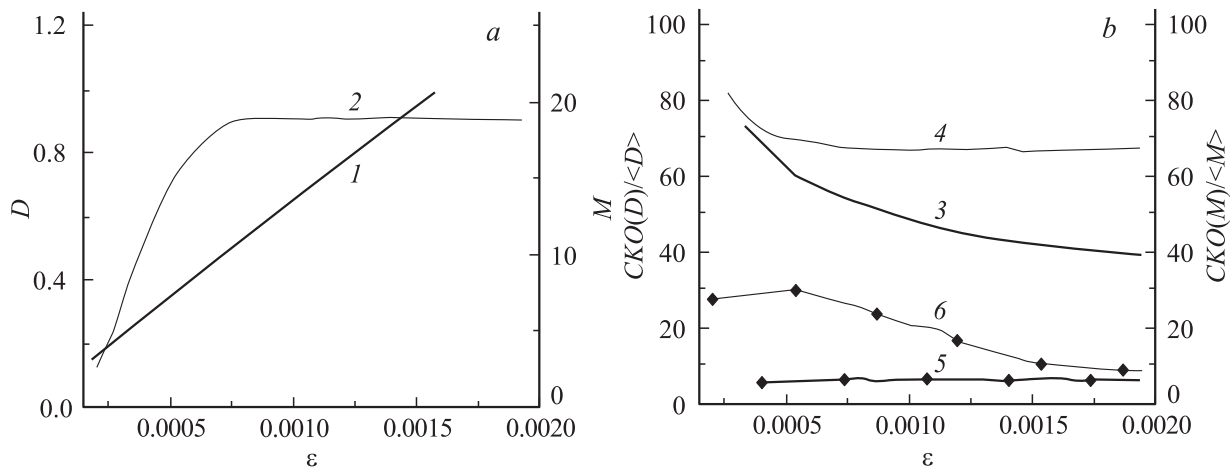


Рис. 2. Экспериментально установленные для алгоритмов (1) и (2) зависимости от прироста общей деформации ε : *a* — визуализирующих сигналов, 1 — M , 2 — D ; *b* — параметров обратного качества измерений; 3 — $CKO(M)/\langle M \rangle$, $1 \times 1p$; 4 — $CKO(D)/\langle D \rangle$, $2 \times 2p$; 5 — $CKO(M)/\langle M \rangle$, $21 \times 21p$. ($p = 5$); 6 — $CKO(D)/\langle D \rangle$, $20 \times 20p$. ($p = 1$).

го уровня S спекл-поля, приближающегося к среднему по генеральной выборке. Удалось установить, что при выборе окрестности можно ограничиться 2–3 средними размерами спекла, поскольку уменьшение их числа неоправданно увеличивает дисперсию величины $M(\beta)$, а увеличение ухудшает качество визуализации из-за неравномерной освещенности объекта. Усреднение $M(\beta)$

по ансамблю β проводится с учетом весовых коэффициентов, определенных на упругом участке растяжения в процессе получения калибровок $M(\beta) = M(\beta, \varepsilon_{xx})$. Реализуемое (2) в результате интегрирования линейное регрессионное сглаживание текущих значений $\overline{M}_{ijk}^{(m \times n)}$ в интервале $[k - p, k]$ по методу Гаусса способствует подавлению шумов, обусловленных случайным характе-

ром распределения спекл-поля, если справедливо предположение о линейном по времени нарастании деформации. Аналогичный результат достигается усреднением межкадрового прироста числа мерцаний в $(m \times n)$ -пиксельной окрестности при условии параллельности компонент ε_{xx} и ε_{yy} наблюдаемой плоской поверхности исследуемого объекта.

Положим, что обусловленный временным ходом пластической деформации процесс декорреляции спеклов является случайным стационарным гауссовым процессом и имеет такое же распределение временной производной и описывает динамику мерцаний законом [8] $M \sim t/\tau$ (τ — интервал корреляции процесса). В этом случае с учетом полученной нами зависимости $\overline{M}_{ijk}^{m \times n}(\varepsilon_{xx})$ (рис. 2, кривая 1) межкадровым приращением $\overline{M}_{ijk}^{(m \times n)} - \overline{M}_{ij(k-p)}^{(m \times n)}$ может быть поставлен в соответствие прирост деформации, что позволяет интерпретировать сигнал, определенный алгоритмом (2), как величину, линейно связанную с компонентами деформации $\dot{\varepsilon}_{xx}$ и $\dot{\varepsilon}_{yy}$.

Таким образом, алгоритм (2) обеспечивает визуализацию деформации с единственным временным параметром — меткой времени $k - p/2$. При линейном нарастании деформации ширина интервала регрессионного сглаживания p не определяет явно значение визуализирующего сигнала — скорости мерцания спеклов в отличие от алгоритма (1), сигнал которого D прямо связан с межкадровым сдвигом p . Следовательно, алгоритм (2) имеет однопараметрический характер, что при линейном характере зависимости прироста мерцаний от ε_{xx} и ε_{yy} существенно облегчает сбор данных о пространственно-временной структуре деформационного поля, упрощает их интерпретацию и допускает оценку накопления деформации интегрированием сигнала по времени.

Благодаря линейности зависимости $\overline{M}_{ijk}^{(m \times n)}(\varepsilon_{xx})$ алгоритм (2) выгодно отличается от спекл-декорреляционного алгоритма (1) точностью и информативностью отображения деформационного поля. Не менее важно явное превосходство алгоритма (2) по уровню шума, о чем свидетельствуют более низкие значения среднего квадратичного отклонения и его независимость от деформации (рис. 2, кривые 3, 5). Названные обстоятельства обуславливают очевидное (рис. 1) превосходство его изобразительных возможностей этого алгоритма для визуализации пластического течения.

Список литературы

- [1] Zuev L.B. // Ann. Phys. 2001. Vol. 10. N 11–12. P. 965–984.
- [2] Rastogi P.K. // Optics and Laser Engng. 1997. Vol. 26. N 1. P. 93–100.
- [3] Sjudahl M. Digital Speckle Pattern Interferometry and Related Techniques. New York: J. Wiley and Sons LTD, 2001. P. 289–336.
- [4] Горбатенко В.В., Поляков С.Н., Зувев Л.Б. // Завод. лаб. 2001. Т. 67. № 7. С. 29–32.

- [5] Zuev L.B., Polyakov S.N., Gorbatenko V.V. // Proc. SPIE. 2002. Vol. 4900. Pt. 2. P. 1197–1206.
- [6] Поляков С.Н., Горбатенко В.В., Лонаев Е.Л., Зувев Л.Б. // Автометрия. 2003. Т. 39. № 5. С. 102–111.
- [7] Владимиров А.П. Докт. дис. Екатеринбург, 2002. 393 с.
- [8] Тихонов В.И. Выбросы случайных процессов. М.: Наука, 1970. 143 с.